

УДК 539.3

ПЛОСКАЯ ЗАДАЧА ТЕОРИИ УПРУГОСТИ ОБ ИДЕНТИФИКАЦИИ УЗЛОВЫХ ТОЧЕК КВАДРАТУРНОГО ВКЛЮЧЕНИЯ

© 2023 г. А. В. Капцов^a, Е. И. Шифрин^{a,*}

^aИнститут проблем механики им. А.Ю. Ишлинского РАН, Москва, Россия

*e-mail: shifrin@ipmnet.ru

Поступила в редакцию 14.03.2023 г.

После доработки 22.03.2023 г.

Принята к публикации 23.03.2023 г.

Рассматривается задача обнаружения и идентификации упругого включения в изотропной, линейно упругой плоскости. Предполагается, что на бесконечности заданы постоянные напряжения. Предполагается также, что на некоторой замкнутой кривой, содержащей внутри себя включение, известны действующие усилия и перемещения. В случае, когда область, занимаемая включением, является квадратурной, разработан метод идентификации ее узловых точек. Разработанный метод основан на применении принципа взаимности. Рассмотрены численные примеры.

Ключевые слова: упругость, плоская задача, квадратурная область, узловые точки, обратная задача

DOI: 10.31857/S0572329923600147, **EDN:** XOMURK

1. Введение. В случае, когда переопределенные данные (данные Дирихле и Неймана) известны на замкнутой кривой, охватывающей дефект (включение, полость или трещину), одним из наиболее эффективных методов его идентификации является метод, основанный на исследовании скачка в соотношении взаимности [1]. Этот метод был успешно применен к решению обратных задач статической теории упругости [2–8]. В указанных публикациях были решены задачи идентификации плоской трещины, эллипсоидального включения и нескольких эллипсоидальных включений в трехмерном упругом пространстве, а также множества прямолинейных трещин в упругой плоскости. Таким образом, в известных публикациях в основном решались задачи идентификации дефектов, имеющих каноническую форму. В настоящей публикации рассматривается задача идентификации некоторых характеристик областей, занимаемых дефектами не только канонической формы.

Поскольку ниже рассматриваются включения, занимающие квадратурные области, коротко напомним определение и основные свойства квадратурных областей. Ограничимся односвязными областями $D \subset \mathbb{R}^2$, ограниченными гладкими, замкнутыми, жордановыми кривыми ∂D . Основы теории квадратурных областей были заложены в работах [9, 10]. Множество функций, голоморфных в области D и принадлежащих $L_1(D)$, обозначим $AL^1(D)$. Согласно [10] область D называется квадратурной если существует конечное число точек z_1, z_2, \dots, z_m , $z_i \in D$ таких, что для любых функций $f(z) \in AL^1(D)$ имеет место следующее тождество

$$\int_D f(z) dS = \sum_{k=1}^m \sum_{j=0}^{n_k-1} a_{kj} f^{(j)}(z_k) \quad (1.1)$$

Здесь Ox_1x_2 – декартовы координаты, $z = x_1 + ix_2$, a_{kj} – комплексные постоянные, не зависящие от функции $f(z)$. Точки $z_k = x_{k1} + ix_{k2}$ называются узловыми точками. Величина $n = \sum_{k=1}^m n_k$ называется порядком квадратурного тождества (1.1).

Имеются также другие, эквивалентные определения квадратурной области [9, 10]. Напомним их, поскольку они понадобятся ниже.

Область называется квадратурной если существует функция $S(z)$, называемая функцией Шварца, которая удовлетворяет следующим условиям. $S(z)$ – мероморфная функция в области D . Полюсы функции $S(z)$ совпадают с узловыми точками z_k и порядки полюсов равны соответствующим величинам n_k . Кроме того, на границе ∂D имеет место следующее равенство

$$S(z) = \bar{z}, \quad \bar{z} = x_1 - ix_2, \quad z \in \partial D \quad (1.2)$$

В случае, когда область D ограничена и односвязна, условие (1.1) эквивалентно следующим условиям. 1) Существует рациональная функция $\varphi(t)$, $t = t_1 + it_2$, осуществляющая конформное отображение единичного диска U на область D . 2) Полюсы функции $\varphi(t)$ расположены в точках $\tau_k^* = 1/\bar{\tau}_k$ и $\varphi(\tau_k) = z_k$, $\tau_k = \tau_{k1} + i\tau_{k2}$. Порядки полюсов τ_k^* равны соответствующим величинам n_k .

Важное свойство квадратурных областей было установлено в [11–13]. В упрощенной формулировке, достаточной для настоящей статьи, доказанное в [11–13] утверждение может быть сформулировано следующим образом.

Пусть D – односвязная область, ограниченная простой, замкнутой, C^∞ кривой. В этом случае существует квадратурная область, конформно эквивалентная области D и сколь угодно близкая к ней в смысле C^∞ .

Вопрос единственности для квадратурных областей, то есть вопрос о том, в какой степени равенство (1.1) определяет область D , до сих пор остается открытым. Здесь известны лишь частные результаты. Например, доказано, что квадратурная область порядка 1 ($m = 1$, $n_1 = 1$) является кругом. Другие результаты, касающиеся проблемы единственности для квадратурных областей можно найти в [10, 14].

2. Математическая формулировка задачи. Предположим, что область $D \subset R^2$ занята изотропным, линейно упругим телом с модулем сдвига μ_I и коэффициентом Пуассона ν_I . Как и выше, границу области D обозначаем ∂D . Предположим также, что область $S = R^2 \setminus D$ занята изотропным, линейно упругим телом с модулем сдвига μ_M и коэффициентом Пуассона ν_M . Введем декартову систему координат Ox_1x_2 . Предположим, что на бесконечности заданы постоянные напряжения σ_{11}^{∞} , σ_{12}^{∞} и σ_{22}^{∞} . Будем помечать верхним индексом M напряженно деформированное состояние в матрице S : $\mathbf{u}^M(x)$ – вектор перемещений, $e_{\alpha\beta}^M(x)$ – тензор деформаций и $\sigma_{\alpha\beta}^M(x)$ – тензор напряжений. Уравнения плоской теории упругости в области S имеют вид:

$$\begin{aligned} e_{\alpha\beta}^M(x) &= \frac{1}{2}(u_{\alpha,\beta}^M(x) + u_{\beta,\alpha}^M(x)), \quad \alpha = 1, 2, \quad \beta = 1, 2, \quad x = (x_1, x_2) \in S \\ \sigma_{\alpha\beta}^M(x) &= 2\mu_M \left(\frac{\nu_{M^*}}{1 - 2\nu_{M^*}} \theta^M(x) \delta_{\alpha\beta} + e_{\alpha\beta}^M(x) \right), \quad \theta^M(x) = \sum_{k=1}^2 e_{kk}^M(x) \\ \sigma_{\alpha\beta,\beta}^M(x) &= 0 \end{aligned} \quad (2.1)$$

Здесь $\delta_{\alpha\beta}$ – символ Кронекера, $\nu_* = \nu$ в случае плоской деформации и $\nu_* = \nu/(1+\nu)$ в случае плоского напряженного состояния.

Упругое поле во включении D будем помечать верхним индексом I : $\mathbf{u}^I(x)$ – вектор перемещений, $e_{\alpha\beta}^I(x)$ – тензор деформаций и $\sigma_{\alpha\beta}^I(x)$ – тензор напряжений. Уравнения плоской теории упругости в области D имеют вид:

$$\begin{aligned} e_{\alpha\beta}^I(x) &= \frac{1}{2}(u_{\alpha,\beta}^I(x) + u_{\beta,\alpha}^I(x)), \quad \alpha = 1, 2, \quad \beta = 1, 2, \quad x = (x_1, x_2) \in D \\ \sigma_{\alpha\beta}^I(x) &= 2\mu_I \left(\frac{\nu_{I^*}}{1 - 2\nu_{I^*}} \theta^I(x) \delta_{\alpha\beta} + e_{\alpha\beta}^I(x) \right), \quad \theta^I(x) = \sum_{k=1}^2 e_{kk}^I(x) \\ \sigma_{\alpha\beta,\beta}^I(x) &= 0 \end{aligned} \quad (2.2)$$

Между матрицей и включением предполагается полное сцепление.

$$\mathbf{u}^M(x^*) = \mathbf{u}^I(x^*), \quad \sigma_{\alpha\beta}^M(x^*) N_\beta(x^*) = \sigma_{\alpha\beta}^I(x^*) N_\beta(x^*), \quad x^* \in \partial D \quad (2.3)$$

Здесь $\mathbf{N}(x^*) = (N_1(x^*), N_2(x^*))$ – единичная нормаль к границе ∂D включения D в точке x^* .

Пусть $D \subset \Omega$, где Ω – односвязная, ограниченная область с кусочно-гладкой границей $\partial\Omega$. Предполагается, что на границе $\partial\Omega$ известны действующие усилия и перемещения.

$$\sigma_{\alpha\beta}^M(x') n_\beta(x') = t_\alpha^0(x'), \quad x' \in \partial\Omega \quad (2.4)$$

$$\mathbf{u}^M(x') = \mathbf{u}^0(x'), \quad x' \in \partial\Omega \quad (2.5)$$

Здесь $n(x') = (n_1(x'), n_2(x'))$ – единичная внешняя нормаль к границе $\partial\Omega$ в точке x' .

В общем случае задача заключается в идентификации включения D с помощью имеющихся данных. В настоящей статье рассматривается более скромная задача – идентификация узловых точек квадратурного включения D .

3. Функционал скачка в соотношении взаимности. Упругие поля, удовлетворяющие уравнениям (2.1) во всей плоскости, будем называть регулярными упругими полями и помечать верхним индексом r : $\mathbf{u}^r(x)$ – вектор перемещений, $e_{\alpha\beta}^r(x)$ – тензор деформаций, $\sigma_{\alpha\beta}^r(x)$ – тензор напряжений, $x \in R^2$. Рассмотрим функционал, определенный на пространстве регулярных упругих полей

$$RG(\mathbf{u}^r) = \int_{\partial\Omega} (t_\alpha^0(x') u_\alpha^r(x') - t_\alpha^r(x') u_\alpha^0(x')) dl, \quad t_\alpha^r(x') = \sigma_{\alpha\beta}^r(x') n_\beta(x') \quad (3.1)$$

Из принципа взаимности следует, что в случае, когда область Ω не содержит неоднородностей, равенство $RG(\mathbf{u}^r) = 0$ имеет место для любых регулярных полей $\mathbf{u}^r(x)$. Из равенств (2.1), (2.4), (2.5) и (3.1) следует, что в случае, когда область Ω содержит внутри включение D , функционал $RG(\mathbf{u}^r)$ может быть записан в виде

$$\begin{aligned} RG(\mathbf{u}^r) &= \int_{\partial D} \left(t_{\alpha}^M(x^*) u_{\alpha}^r(x^*) - t_{\alpha}^r(x^*) u_{\alpha}^M(x^*) \right) dl \\ t_{\alpha}^M(x^*) &= \sigma_{\alpha\beta}^M(x^*) N_{\beta}(x^*) \end{aligned} \quad (3.2)$$

Из равенства (3.2) и условий полного сцепления (2.3) имеем

$$RG(\mathbf{u}^r) = \int_{\partial D} \left(t_{\alpha}^I(x^*) u_{\alpha}^r(x^*) - t_{\alpha}^r(x^*) u_{\alpha}^I(x^*) \right) dl, \quad t_{\alpha}^I(x^*) = \sigma_{\alpha\beta}^I(x^*) N_{\beta}(x^*) \quad (3.3)$$

Из равенства (3.3), формулы Грина и уравнений (2.2) следует

$$RG(\mathbf{u}^r) = \int_D [(\lambda_I - \lambda_M) \theta^I \theta^r + 2(\mu_I - \mu_M) e_{\alpha\beta}^I e_{\alpha\beta}^r] dx \quad (3.4)$$

Здесь $\lambda_I = 2\mu_I v_{I*}/(1 - 2v_{I*})$, $\lambda_M = 2\mu_M v_{M*}/(1 - 2v_{M*})$ — постоянные Ламе, $\theta^r(x) = \sum_{k=1}^2 e_{kk}^r(x)$.

4. Вид функционала на некотором подмножестве регулярных упругих полей. Регулярные упругие поля плоской теории упругости представляются с помощью двух голоморфных функций [15]

$$\begin{aligned} 2\mu_M(u_1^r + iu_2^r) &= \kappa_M \Phi_r(z) - \overline{z \Phi'_r(z)} - \overline{\Psi_r(z)} \\ \sigma_{11}^r + \sigma_{22}^r &= 4 \operatorname{Re}[\Phi_r(z)], \quad \sigma_{22}^r - \sigma_{11}^r + 2i\sigma_{12}^r = 2[\bar{z}\Phi'_r(z) + \Psi_r(z)] \end{aligned} \quad (4.1)$$

Здесь $\kappa_M = 3 - 4v_M$ в случае плоского деформированного состояния и $\kappa_M = (3 - v_M)/(1 + v_M)$ в случае плоского напряженного состояния, $\Phi_r(z) = \Phi_r(z)$, $\Psi_r(z) = \Psi_r(z)$.

Рассмотрим подмножество регулярных упругих полей, удовлетворяющих условию $\Phi_r(z) = 0$. Из (4.1) следует, что для упругих полей из данного подмножества справедливы равенства

$$\theta^r = 0, \quad \sigma_{\alpha\beta}^r = 2\mu_M e_{\alpha\beta}^r \quad (4.2)$$

Из (3.4) и (4.2) имеем

$$RG(\mathbf{u}^r) = \frac{(\mu_I - \mu_M)}{\mu_M} \int_D e_{\alpha\beta}^I \sigma_{\alpha\beta}^r dx \quad (4.3)$$

Рассмотрим регулярное упругое поле \mathbf{u}^r , построенное с помощью голоморфных функций $\Phi_r(z) = 0$ и $\Psi_r(z) = \mu_M H(z)$. Из (4.1) и (4.3) следует

$$RG(\mathbf{u}^r) = (\mu_I - \mu_M) \int_D [(e_{22}^I - e_{11}^I) \operatorname{Re} H + 2e_{12}^I \operatorname{Im} H] dx \quad (4.4)$$

Пометим верхним индексом ρ регулярное упругое поле, отвечающее голоморфным функциям $\Phi_{\rho}(z) = 0$ и $\Psi_{\rho}(z) = i\mu_M H(z)$. Из (4.1) и (4.3) получим

$$RG(\mathbf{u}^{\rho}) = (\mu_I - \mu_M) \int_D [(e_{11}^I - e_{22}^I) \operatorname{Im} H + 2e_{12}^I \operatorname{Re} H] dx \quad (4.5)$$

Из равенств (4.4) и (4.5) следует

$$RG(\mathbf{u}^r) - iRG(\mathbf{u}^{\rho}) = (\mu_I - \mu_M) \int_D [(e_{22}^I - e_{11}^I) - 2ie_{12}^I] H dx \quad (4.6)$$

Выражение (4.6) может быть рассмотрено как функционал, определенный на пространстве голоморфных функций $H(z) \in AL^1(D)$. Введем следующее обозначение для этого функционала

$$RG(\mathbf{u}^r) - iRG(\mathbf{u}^0) = P(H(z)) \quad (4.7)$$

Учитывая равенства (2.2) и обозначение (4.7), равенство (4.6) может быть записано в виде

$$P(H) = \frac{(\mu_I - \mu_M)}{2\mu_I} \int_D [(\sigma_{22}^I - \sigma_{11}^I) - 2i\sigma_{12}^I] H(z) dx \quad (4.8)$$

5. Свойства функционала $P(H)$ и различные формы его представления. *Лемма 1.* Справедливо следующее равенство

$$\begin{aligned} P(H'(z)) &= \frac{(\mu_I - \mu_M)}{2\mu_I} \int_D [(\sigma_{22}^I - \sigma_{11}^I) - 2i\sigma_{12}^I] H'(z) dx = \\ &= -\frac{(\mu_I - \mu_M)}{2\mu_I} \int_{\partial D} H(z) (t_1^I + it_2^I) dl \end{aligned} \quad (5.1)$$

где $t^I = (t_1^I, t_2^I)$ – определенные в (3.3) усилия, действующие на границу включения ∂D .

Доказательство. Преобразуем правую часть равенства (5.1) с помощью формулы Гаусса–Остроградского и уравнения равновесия.

$$-\frac{(\mu_I - \mu_M)}{2\mu_I} \int_{\partial D} H(z) (\sigma_{1\beta}^I n_\beta + i\sigma_{2\beta}^I n_\beta) dl = -\frac{(\mu_I - \mu_M)}{2\mu_I} \int_D H_{,\beta}(z) (\sigma_{1\beta}^I + i\sigma_{2\beta}^I) dx \quad (5.2)$$

Равенство (5.1) следует из (5.2) и равенств $H_{,1} = H'(z)$, $H_{,2} = iH'(z)$.

В случае, когда область D односвязна, напряженное состояние во включении может быть представлено двумя голоморфными функциями, аналогично (4.1), см. [15]

$$\begin{aligned} 2\mu_I (u_1^I + iu_2^I) &= \kappa_I \Phi_I(z) - z \overline{\Phi'_I(z)} - \overline{\Psi_I(z)} \\ \sigma_{11}^I + \sigma_{22}^I &= 4 \operatorname{Re}[\Phi_I(z)], \quad \sigma_{22}^I - \sigma_{11}^I + 2i\sigma_{12}^I = 2[\bar{z}\Phi'_I(z) + \Psi_I(z)] \end{aligned} \quad (5.3)$$

где $\Phi_I(z) = \varphi_I(z)$, $\Psi_I(z) = \psi_I(z)$, $\kappa_I = 3 - 4\nu_I$ в случае плоской деформации, $\kappa_I = (3 - \nu_I)/(1 + \nu_I)$ в случае плоского напряженного состояния.

Функцию Эри для напряженного состояния во включении обозначим $U^I(x_1, x_2)$.

$$\sigma_{11}^I = \frac{\partial^2 U^I}{\partial x_2^2}, \quad \sigma_{22}^I = \frac{\partial^2 U^I}{\partial x_1^2}, \quad \sigma_{12}^I = -\frac{\partial^2 U^I}{\partial x_1 \partial x_2} \quad (5.4)$$

В соответствии с [15] введем функцию

$$f_I(x_1, x_2) = \frac{\partial U^I}{\partial x_1} + i \frac{\partial U^I}{\partial x_2} \quad (5.5)$$

В [15] показано, что функция, определенная в (5.5), выражается через введенные выше голоморфные функции следующим образом

$$f_I(x_1, x_2) = \varphi_I(z) + z \overline{\varphi'_I(z)} + \overline{\psi_I(z)} \quad (5.6)$$

Из результатов [15] также следует, что на границе включения справедливо равенство

$$t_1^I(x') + it_2^I(x') = -i \frac{\partial f_I(x')}{\partial l} \quad (5.7)$$

Из (5.1) и (5.7) следует

$$P(H'(z)) = \frac{i(\mu_I - \mu_M)}{2\mu_I} \int_{\partial D} H(z) \frac{\partial f_I}{\partial l} dl \quad (5.8)$$

Интегрируя в правой части (5.8) по частям, получим

$$P(H'(z)) = -\frac{i(\mu_I - \mu_M)}{2\mu_I} \int_{\partial D} H'(z) f_I(x_1, x_2) dz \quad (5.9)$$

Поскольку любые голоморфные функции в односвязной области D являются производными от некоторых других голоморфных функций, равенство (5.9) может быть записано в виде

$$P(H(z)) = -\frac{i(\mu_I - \mu_M)}{2\mu_I} \int_{\partial D} H(z) f_I(x_1, x_2) dz \quad (5.10)$$

Из (5.6), (5.10) и того факта, что интеграл от голоморфной функции по замкнутому контуру равен нулю, следует

$$P(H(z)) = -\frac{i(\mu_I - \mu_M)}{2\mu_I} \int_{\partial D} H(z) (z\overline{\Phi'_I(z)} + \overline{\Psi_I(z)}) dz \quad (5.11)$$

Используя равенства (5.11) и (5.3), можно выразить функционал $P(H)$ через перемещения на границе включения

$$P(H(z)) = i(\mu_I - \mu_M) \int_{\partial D} H(z) (u_1^I + iu_2^I) dz \quad (5.12)$$

6. Представление функционала $P(H)$ в виде линейной комбинации дельта-функций и их производных. Поскольку усилия, действующие на границу включения ∂D самоуравновешены, напряженное состояние в матрице $S = R^2 \setminus D$ выражается с помощью двух голоморфных функций аналогично (4.1) и (5.3)

$$\begin{aligned} 2\mu_M(u_1^M + iu_2^M) &= \kappa_M \Phi_M(z) - z\overline{\Phi'_M(z)} - \overline{\Psi_M(z)} \\ \sigma_{11}^M + \sigma_{22}^M &= 4 \operatorname{Re}[\Phi_M(z)], \quad \sigma_{22}^M - \sigma_{11}^M + 2i\sigma_{12}^M = 2[\overline{z}\Phi'_M(z) + \Psi_M(z)] \end{aligned} \quad (6.1)$$

где $\Phi_M(z) = \Phi'_M(z)$, $\Psi_M(z) = \Psi'_M(z)$.

Кроме того, согласно [15], справедливо следующее представление

$$\Phi_M(z) = \Gamma z + \Phi_M^0(z), \quad \Psi_M(z) = \Gamma' z + \Psi_M^0(z), \quad \Phi_M^0(\infty) = \Psi_M^0(\infty) = 0 \quad (6.2)$$

Постоянные Γ и Γ' выражаются через напряжения, заданные на бесконечности

$$\Gamma = \frac{1}{4}(\sigma_{11}^\infty + \sigma_{22}^\infty), \quad \Gamma' = \frac{1}{2}(\sigma_{22}^\infty - \sigma_{11}^\infty + 2i\sigma_{12}^\infty) \quad (6.3)$$

Аналогично (5.6), рассмотрим функцию

$$f_M(x_1, x_2) = \Phi_M(z) + z\overline{\Phi'_M(z)} + \overline{\Psi_M(z)} \quad (6.4)$$

В терминах введенных функций условия полного сцепления между матрицей и включением (2.3) имеют вид [15]

$$\begin{aligned} f_I(x_1, x_2) &= \Phi_I(z) + z\overline{\Phi'_I(z)} + \overline{\Psi_I(z)} = f_M(x_1, x_2) = \Phi_M(z) + z\overline{\Phi'_M(z)} + \overline{\Psi_M(z)} \\ \frac{1}{2\mu_I} [\kappa_I \Phi_I(z) - z\overline{\Phi'_I(z)} - \overline{\Psi_I(z)}] &= \frac{1}{2\mu_M} [\kappa_M \Phi_M(z) - z\overline{\Phi'_M(z)} - \overline{\Psi_M(z)}] \\ (x_1, x_2) &\in \partial D \end{aligned} \quad (6.5)$$

Обозначим D' область, симметричную области D относительно вещественной оси. Пусть $g(z)$ – голоморфная функция в области D . Определим голоморфную функцию в области D' [9]

$$\bar{g}(z) = \overline{g(\bar{z})}, \quad z \in D' \quad (6.6)$$

Нетрудно видеть [9], что справедливо следующее равенство

$$\bar{g}(\bar{z}) = \overline{g(z)}, \quad z \in D \quad (6.7)$$

Принимая во внимание равенство (6.7), условия сопряжения (6.5) могут быть записаны в виде

$$\begin{aligned} \varphi_I(z) + z\bar{\Phi}_I(\bar{z}) + \bar{\Psi}_I(\bar{z}) &= \varphi_M(z) + z\bar{\Phi}_M(\bar{z}) + \bar{\Psi}_M(\bar{z}) \\ \kappa_I \varphi_I(z) - z\bar{\Phi}_I(\bar{z}) - \bar{\Psi}_I(\bar{z}) &= \gamma [\kappa_M \varphi_M(z) - z\bar{\Phi}_M(\bar{z}) - \bar{\Psi}_M(\bar{z})], \quad z \in \partial D \end{aligned} \quad (6.8)$$

Здесь $\gamma = \frac{\mu_I}{\mu_M}$. Введем обозначения

$$\begin{aligned} \varphi_M(z) &= x, \quad z\bar{\Phi}_I(\bar{z}) + \bar{\Psi}_I(\bar{z}) = y, \quad \varphi_I(z) = a, \\ z\bar{\Phi}_M(\bar{z}) + \bar{\Psi}_M(\bar{z}) &= b, \quad z \in \partial D \end{aligned} \quad (6.9)$$

Используя условия полного сцепления (6.8), выразим величины x и y через величины a и b . В результате получим

$$x = \frac{(\kappa_I + 1)a + (\gamma - 1)b}{\gamma\kappa_M + 1}, \quad y = \frac{(\kappa_I - \gamma\kappa_M)a + \gamma(\kappa_M + 1)b}{\gamma\kappa_M + 1} \quad (6.10)$$

Определим аналитические функции двух переменных

$$Q_1(z, \zeta) = \varphi_I(z) + z\bar{\Phi}_I(\zeta) + \bar{\Psi}_I(\zeta), \quad z \in D, \quad \zeta \in D \quad (6.11)$$

$$Q_2(z, \zeta) = \frac{1}{\gamma\kappa_M + 1} [(\kappa_I + 1)\varphi_I(z) + \gamma(\kappa_M + 1)(z\bar{\Phi}_M(\zeta) + \bar{\Psi}_M(\zeta))] \quad (6.12)$$

$$z \in D, \quad \zeta \notin \bar{D}$$

Здесь \bar{D} – замыкание области D .

Пусть $S(z)$ – мероморфная функция Шварца в замкнутой области \bar{D} . Определим мероморфную функцию

$$Q(z) = \begin{cases} Q_1(z, S(z)), & z \in D, \quad S(z) \in D \\ Q_2(z, S(z)), & z \in D, \quad S(z) \notin \bar{D} \end{cases} \quad (6.13)$$

Из (5.6), (6.4), (6.5), (6.7) и (6.9)–(6.12) имеем

$$Q_1(z, S(z)) = Q_2(z, S(z)) = f_I(x_1, x_2), \quad z \in \partial D \quad (6.14)$$

Предположим для простоты, что полюсы функции Шварца в области D – простые. Обозначим эти полюсы z_1, z_2, \dots, z_n . Таким образом, в окрестности точки z_k функция $S(z)$ имеет вид

$$S(z) = \frac{R_k}{z - z_k} + g_k(z) \quad (6.15)$$

где $g_k(z)$ – голоморфная функция в некоторой окрестности точки z_k .

Учитывая поведение упругого поля $\mathbf{u}^M = (u_1^M, u_2^M)$ на бесконечности (6.2), получим асимптотику функции $Q_2(z, S(z))$ при $z \rightarrow z_k$.

$$Q_2(z, S(z)) = \frac{\gamma(\kappa_M + 1) \bar{\Gamma}' R_k}{(\gamma\kappa_M + 1)(z - z_k)} + G_k(z) \quad (6.16)$$

Здесь $G_k(z)$ — голоморфная функция в окрестности точки z_k .

Из (6.13) и (6.16) следует, что $Q(z)$ — мероморфная функция в области D , простые полюсы которой расположены в точках z_1, z_2, \dots, z_n . Из (5.10), (6.13) и (6.14) получим

$$P(H(z)) = -\frac{i(\mu_I - \mu_M)}{2\mu_I} \int_{\partial D} H(z) Q(z) dz \quad (6.17)$$

Интеграл в (6.17) равен сумме вычетов подынтегральной функции в точках z_k

$$P(H(z)) = \sum_{k=1}^n A_k H(z_k) \quad (6.18)$$

$$\text{где } A_k = \frac{\pi(\mu_I - \mu_M)\gamma(\kappa_M + 1)\bar{\Gamma}' R_k}{\mu_I(\gamma\kappa_M + 1)}.$$

Принимая во внимание выражение для γ , имеем

$$A_k = \frac{\pi(\mu_I - \mu_M)(\kappa_M + 1)\bar{\Gamma}' R_k}{(\mu_I\kappa_M + \mu_M)} \quad (6.19)$$

7. Определение узловых точек квадратурного включения. Рассмотрим последовательность голоморфных функций $H_m(z) = \left(\frac{z}{L}\right)^m$, где L — некоторый линейный размер, $m = 0, 1, 2, \dots$. Обозначим

$$P(H_m(z)) = b_m \quad (7.1)$$

Из (6.18) и (7.1) получим систему уравнений

$$\sum_{k=1}^n A_k w_k^m = b_m, \quad w_k = \frac{z_k}{L} \quad (7.2)$$

Уравнения (7.2) содержат $2n$ неизвестных: A_k и w_k , $k = 1, \dots, n$. Методы нахождения этих неизвестных с помощью известных значений b_m , $m = 0, \dots, 2n - 1$ хорошо разработаны [16–18]. В соответствии с [16], рассмотрим ганкелевы матрицы

$$\mathbf{H}_0 = \begin{pmatrix} b_0 & b_1 & \cdots & b_{n-1} \\ b_1 & b_2 & \cdots & b_n \\ \vdots & \vdots & \ddots & \vdots \\ b_{n-1} & b_n & \cdots & b_{2n-2} \end{pmatrix}, \quad \mathbf{H}_1 = \begin{pmatrix} b_1 & b_2 & \cdots & b_n \\ b_2 & b_3 & \cdots & b_{n+1} \\ \vdots & \vdots & \ddots & \vdots \\ b_n & b_{n+1} & \cdots & b_{2n-1} \end{pmatrix} \quad (7.3)$$

Искомые величины w_k являются собственными значениями обобщенной задачи на собственные значения

$$\mathbf{H}_1 \mathbf{a} = w \mathbf{H}_0 \mathbf{a} \quad (7.4)$$

Здесь \mathbf{a} — собственный вектор, соответствующий собственному значению w .

После определения неизвестных w_k , $k = 1, \dots, n$, коэффициенты A_k определяются из системы линейных, алгебраических уравнений (7.2) для $m = 0, 1, \dots, n - 1$.

Число узловых точек, соответствующих области D , заранее неизвестно. В связи с этим, необходимо решать последовательность задач в предположении, что имеется $n = 1, 2, \dots$ узловых точек. В случае, когда предполагаемое количество узловых точек n превосходит действительное количество узловых точек области D , некоторые из полу-

ченных собственных значений w_k являются паразитными. Для исключения паразитных решений ниже используется следующий критерий.

Обозначим $A_{n\max} = \max_{k=1,\dots,n} |A_k|$. Собственные значения w_k , для которых соответствующие коэффициенты A_k удовлетворяют неравенству $|A_k| / A_{n\max} < \varepsilon_{cr}$, где ε_{cr} некоторая малая величина, рассматриваются как паразитные и исключаются из рассмотрения. В численных примерах, рассмотренных ниже, принимается $\varepsilon_{cr} = 0.01$.

8. Численные примеры. В представленных выше теоретических результатах предполагается, что упругое тело безгранично. В рассмотренных ниже примерах упругое тело ограничено, однако характерные размеры дефекта много меньше размеров тела, что дает возможность использовать полученные результаты. Во всех примерах предполагается, что упругое тело занимает квадратную область $\Omega = \{x = (x_1, x_2) : |x_i| \leq L, i = 1, 2\}$, $L = 10$ см. В качестве упругих постоянных материала приняты: модуль Юнга $E_M = 68.5$ ГПа, коэффициент Пуассона $\nu_M = 0.36$. Такие упругие постоянные соответствуют алюминию. Во всех примерах рассматривается плоское напряженное состояние и предполагается, что усилия, приложенные к границе тела $\partial\Omega$, соответствуют одностороннему растяжению в направлении оси x_2 .

$$\mathbf{t}^0(x') = (0, \sigma n_2(x')), \quad x' \in \partial\Omega \quad (8.1)$$

где $\sigma = 100$ МПа.

Используемые в примерах переопределенные данные (перемещения внешней границы тела $\partial\Omega$) получены путем численного решения прямой задачи для тела с неоднородностью при заданных граничных условиях (8.1) на внешней границе $\partial\Omega$.

Наиболее известным примером квадратурной области является круг. В случае, когда область D является кругом с центром в точке z_0 , из теоремы о среднем следует, что для любой голоморфной функции $f(z)$ справедливо равенство

$$\int_D f(z) dS = |D| f(z_0) \quad (8.2)$$

где $|D|$ – площадь круга.

Из (8.2) следует, что круг – квадратурная область порядка 1. Единственная узловая точка расположена в центре круга.

Отметим, что также справедливо и обратное утверждение. Если порядок квадратурной области равен 1, то эта область является кругом, центр которого совпадает с узловой точкой [10].

Напомним, что функция Шварца для круга с центром в точке z_0 и радиусом r_0 имеет вид [9].

$$S_{\text{circ}}(z) = \frac{r_0^2}{z - z_0} + \bar{z}_0 \quad (8.3)$$

Пример 1. В этом примере в качестве неоднородности рассматривается круговая полость с центром в точке $(x_{01}, x_{02}) = (4, 3)$ и радиусом $r_0 = 1$, см. рис. 1. Здесь все величины даны в сантиметрах.

Узловые точки были определены при различных предположениях о количестве узловых точек n . Величина n варьировалась от 1 до 10. В результате использования сформулированного выше критерия оказалось, что для всех рассмотренных значений n определяется только одна узловая точка. Проиллюстрируем это на примере, в котором ожидаемое количество узловых точек $n = 10$. В табл. 1 представлены координаты полученных узловых точек $z_k = L \cdot w_k$ и соответствующие им нормированные коэффициенты $\alpha_k = |A_k| / A_{n\max}$.

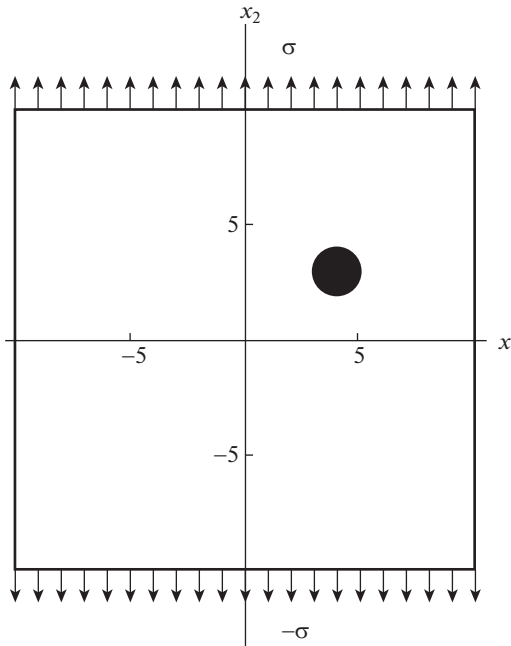


Рис. 1. Квадратная пластина с круговой полостью.

Как видно из табл. 1, для 9 из 10 полученных узловых точек выполнено неравенство $\alpha_k < \varepsilon_{cr} = 0.01$. Отметим, что значения α_k для этих девяти точек много меньше выбранного критериального значения. Таким образом, согласно сформулированному в предыдущем разделе критерию, эти девять точек должны быть исключены и остается только одна узловая точка, имеющая в табл. 1 номер 6. Координаты оставшейся точки, как и ожидалось, с точностью до двух десятичных знаков совпадают с координатами центра круга.

Зависимость координат установленной узловой точки от предполагаемого количества узловых точек n представлена в табл. 2.

Из табл. 2 следует, что с точностью до трех десятичных знаков, координаты определяемой узловой точки не зависят от предполагаемого значения n и совпадают с координатами центра круга с очень высокой точностью.

Таблица 1. Узловые точки и нормированные коэффициенты для круговой полости в случае $n = 10$ и параметров круга $z_0 = 4 + 3i$, $r_0 = 1$

k	1	2	3	4	5
α_k	5.29×10^{-14}	4.04×10^{-10}	1.14×10^{-9}	2.15×10^{-10}	3.82×10^{-7}
z_k	$-15.79 + 4.9i$	$-9.47 - 9.39i$	$-7.18 - 6.47i$	$-6.51 + 7.61i$	$3.55 + 4.99i$
k	6	7	8	9	10
α_k	1	3.9×10^{-5}	1.28×10^{-8}	4.8×10^{-9}	1.13×10^{-9}
z_k	$4 + 3i$	$4.3 + 2.68i$	$8.41 - 6.76i$	$9.68 - 9.43i$	$10.37 - 3.02i$

Таблица 2. Зависимость координат установленной узловой точки от величины n

n	1	2	3	4	5
z_0	$4.0025 + 3.0024i$	$4.0024 + 3.0023i$	$4.0024 + 3.0022i$	$4.0024 + 3.0022i$	$4.0024 + 3.0022i$
n	6	7	8	9	10
z_0	$4.0024 + 3.0022i$	$4.0024 + 3.0023i$	$4.0024 + 3.0022i$	$4.0024 + 3.0022i$	$4.0024 + 3.0022i$

Поскольку в данном примере установлено, что имеется только одна узловая точка, то, как указано выше, отсюда следует, что искомая неоднородность является кругом [10]. Если предположить, что неоднородность является полостью, то радиус круга также может быть определен.

Из (7.2) следует, что в случае, когда имеется единственная узловая точка, справедливо равенство $A_l = b_0$. Следовательно, из формулы (6.19), предполагая, что дефект является полостью ($\mu_l = 0$), имеем

$$-\pi(\chi_M + 1)\bar{\Gamma}' R_l = b_0 \quad (8.4)$$

В случае одноосного растяжения вдоль оси x_2 , из (6.3) получим

$$\bar{\Gamma}' = \frac{\sigma}{2} \quad (8.5)$$

Из (6.15) и вида функции Шварца (8.3) следует

$$R_l = r_0^2 \quad (8.6)$$

Наконец, из формул (8.4)–(8.6) получим

$$r_0^2 = \frac{-2b_0}{\pi(\chi_M + 1)\sigma} \quad (8.7)$$

В результате вычислений было получено $b_0 = -(486.1754 + 1.4725i)$ Мпа · см². Отметим, что из-за погрешностей вычислений величина b_0 оказалась комплексной, однако мнимая часть числа на несколько порядков меньше его вещественной части. Если пренебречь мнимой частью и подставить вещественную часть в формулу (8.7), получим $r_0 \approx 1.026$. Таким образом, радиус круговой полости вычисляется с достаточно высокой точностью.

Замечание. Параметры круговой полости с помощью переопределенных данных на всей внешней границе тела можно также определить с помощью метода, описанного в [3]. Однако, в методе [3] нужно априори предполагать, что полость имеет форму круга. В представленном здесь методе тот факт, что полость имеет форму круга, не предполагается, а устанавливается.

Пример 2. В этом примере дефект D также является круговой полостью, центр которой расположен в точке $(x_{01}, x_{02}) = (-6, -4)$, а радиус равен $r_0 = 0.5$. Как и в примере 1, количество предполагаемых узловых точек n варьировалось от 1 до 10. Вычисления показали, что при всех рассмотренных значениях n после исключения паразитных решений оставалась только одна узловая точка. Проиллюстрируем этот результат в случае $n = 10$. Координаты всех десяти узловых точек z_k и соответствующие им нормированные коэффициенты α_k представлены в табл. 3.

Таблица 3 показывает, что согласно сформулированному выше критерию остается только одна узловая точка под номером 3. Остальные узловые точки являются паразитными. Координаты установленной узловой точки с точностью до нескольких десятичных знаков совпадают с координатами центра круга. Точность определения коор-

Таблица 3. Узловые точки и нормированные коэффициенты для круговой полости в случае $n = 10$ и параметров круга $z_0 = -6 - 4i$, $r_0 = 0.5$

k	1	2	3	4	5
α_k	9.69×10^{-9}	2.67×10^{-10}	1	1.24×10^{-4}	9.92×10^{-8}
z_k	$-9.62 - 9.71i$	$-8.77 + 7.93i$	$-6 - 4i$	$-5.61 - 4.2i$	$-5.52 - 8.16i$
k	6	7	8	9	10
α_k	2.25×10^{-7}	4.25×10^{-8}	1.19×10^{-10}	9.66×10^{-16}	1.68×10^{-8}
z_k	$0.42 - 5.05i$	$6.99 - 8.05i$	$7.65 + 9.23i$	$9.25 + 21.5i$	$9.45 - 9.63i$

Таблица 4. Зависимость координат установленной узловой точки для круговой полости с параметрами $z_0 = -6 - 4i$ и $r_0 = 0.5$ от числа предполагаемых узловых точек n

n	1	2	3	4	5
z_0	$-6.0006 - 4.0002i$	$-6.0006 - 4.0002i$	$-6.0006 - 4.0002i$	$-6.0004 - 4.0003i$	$-6.0006 - 4.0002i$
n	6	7	8	9	10
z_0	$-6.0005 - 4.0002i$	$-6.0006 - 4.0002i$	$-6.0007 - 4.0003i$	$-6.0006 - 4.0003i$	$-6.0006 - 4.0003i$

динат центра круга иллюстрируется в табл. 4, где представлены координаты установленной узловой точки в зависимости от предполагаемого количества узловых точек n . Так как в этом примере радиус круговой полости меньше, чем в примере 1, центр круга определяется с более высокой точностью.

Полученная в результате вычислений величина b_0 оказалась равной $b_0 = -(117.9 + 0.1i)$ МПа · см². Пренебрегая мнимой частью, которая много меньше вещественной части, и подставив вещественную часть в формулу (8.7), получим $r_0 = 0.505$. Таким образом, погрешность в определении радиуса круговой полости составляет один процент.

Пример 3. В этом примере неоднородность представляет собой жесткое круговое включение, занимающее ту же область, что и круговая полость в примере 2. Проведенные вычисления показали, что и в данном примере обнаруживается единственная узловая точка. В табл. 5 представлены координаты полученных узловых точек z_k и соответствующие им нормированные коэффициенты α_k для случая, когда предполагаемое количество узловых точек $n = 10$.

Из табл. 5 следует, что согласно принятому критерию остается только одна узловая точка, идущая под номером 5. Координаты этой точки совпадают с координатами центра круга.

Таблица 5. Узловые точки и нормализованные коэффициенты для жесткого кругового включения

k	1	2	3	4	5
α_k	4.37×10^{-9}	1.11×10^{-9}	4.46×10^{-13}	2.42×10^{-4}	1
z_k	$-9.43 - 9.38i$	$-8.43 + 8.02i$	$-7.47 + 15.69i$	$-6.19 - 4.01i$	$-6.00 - 4.00i$
k	6	7	8	9	10
α_k	1.86×10^{-7}	9.25×10^{-9}	9.73×10^{-9}	2.40×10^{-10}	3.72×10^{-9}
z_k	$-3.19 + 0.52i$	$2.30 + 5.19i$	$6.75 - 7.55i$	$8.87 + 8.62i$	$9.45 - 9.56i$

Вычисления показали, что при любом предполагаемом количестве узловых точек n от $n = 1$ до $n = 10$ координаты оставшейся после исключения паразитных решений узловой точки отличаются от координат центра круга только начиная с четвертого десятичного знака после запятой. Например, в случае $n = 10$ полученные координаты узловой точки $z_0 = -5.9998 - 3.9999i$.

Чтобы определить радиус жесткого кругового включения перейдем к формуле (6.19) к пределу при $\mu_I \rightarrow \infty$. В результате получим

$$A_l = b_0 = \frac{\pi(\kappa_M + 1)\bar{\Gamma}^* R_l}{\kappa_M} \quad (8.8)$$

Из (8.8), учитывая (8.3) и (8.5), получаем

$$r_0^2 = \frac{2\kappa_M b_0}{\pi(\kappa_M + 1)\sigma} \quad (8.9)$$

В результате вычислений было получено $b_0 = 58.9 - 0.0334i$ МПа · см². Можно видеть, что мнимая часть b_0 много меньше вещественной части. Пренебрегая мнимой частью и подставив вещественную часть b_0 в формулу (8.9), получим $r_0 = 0.497$, что с достаточно высокой точностью совпадает с радиусом рассматриваемого, жесткого, кругового включения.

Пример 4. Пусть полость D имеет форму кардиоиды. Напомним, что кардиоида является квадратурной областью, которая может быть получена путем сдвига и поворота области, чья граница описывается следующими уравнениями

$$\begin{aligned} x_1(t) &= a \left(\cos t + \frac{1}{2} \cos 2t \right) \\ x_2(t) &= a \left(\sin t + \frac{1}{2} \sin 2t \right), \quad 0 \leq t < 2\pi \end{aligned} \quad (8.10)$$

Здесь a — параметр.

В примере рассматривается случай, когда кардиоида D определяется параметром $a = 0.5$ и сдвинута на вектор $(x_{01}, x_{02}) = (4, 3)$. Рассматриваемая кардиоида представлена на рис. 2.

Согласно [19], для любой функции $f(z) \in AL^1(D)$, в случае, когда область D задается уравнениями (8.10) и сдвинута на вектор z_0 , справедливо равенство

$$\int_D f(z) dS = \frac{3\pi a^2}{2} f(z_0) + \frac{\pi a^3}{2} f'(z_0) \quad (8.11)$$

где $z_0 = x_{01} + ix_{02}$.

Из (8.11) следует, что кардиоида имеет единственную узловую точку z_0 порядка 2. Вследствие этого функция Шварца имеет один полюс в точке z_0 порядка 2.

Расчеты показали, что, начиная с $n = 2$, обнаруживаются две простые узловые точки, весьма близкие к кратной узловой точке, отвечающей рассматриваемой кардиоиде. Координаты получаемых узловых точек и соответствующие им нормированные коэффициенты в случае $n = 10$ представлены в табл. 6.

Как видно из табл. 6, согласно принятому критерию, остаются только две узловые точки под номерами 6 и 7, координаты которых очень близки к точным координатам двойной узловой точки.

Устойчивость результатов по отношению к количеству предполагаемых узловых точек n иллюстрируется в табл. 7.

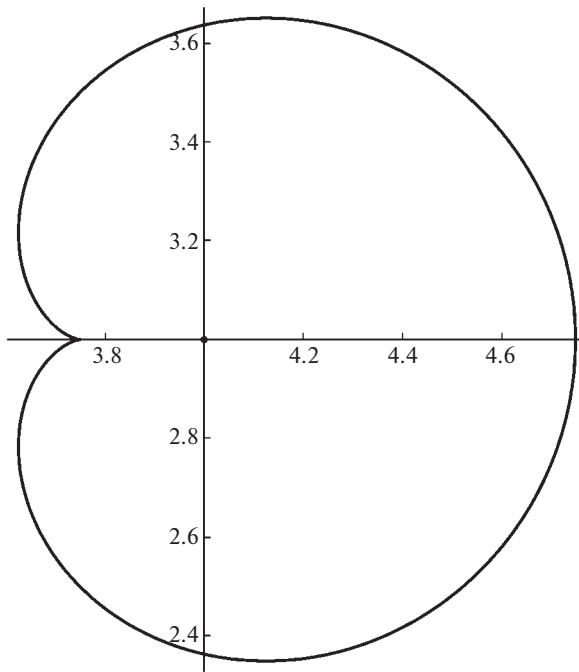


Рис. 2. Полость, имеющая форму кардиоиды.

Пример 5. Еще одним известным примером квадратурной области является овал Неймана. Овалом Неймана называется область, которая может быть получена путем сдвига и поворота области, чья граница описывается следующей кривой

$$x_1(t) = \sqrt{a^2 + 4\epsilon^2 \cos^2(t)} \cos t, \quad x_2(t) = \sqrt{a^2 + 4\epsilon^2 \cos^2(t)} \sin t, \quad 0 \leq t < 2\pi \quad (8.12)$$

Здесь a и ϵ – постоянные.

Согласно [9], функция Шварца для овала Неймана, граница которого описывается уравнениями (8.12), имеет вид

$$S(z) = \frac{z(a^2 + 2\epsilon^2) + z\sqrt{a^4 + 4(a^2 + z^2)\epsilon^2}}{2(z^2 - \epsilon^2)} \quad (8.13)$$

Из (8.13) следует, что функция Шварца для овала Неймана имеет два простых полюса в точках $z = \pm\epsilon$.

Таблица 6. Узловые точки и нормированные коэффициенты для полости, имеющей форму кардиоиды в случае $n = 10$

k	1	2	3	4	5
α_k	1.04×10^{-19}	6.61×10^{-10}	1.89×10^{-9}	2.07×10^{-10}	5.21×10^{-9}
z_k	$-27.00 - 27.25i$	$-9.37 - 9.45i$	$-6.50 - 6.81i$	$-5.92 + 7.69i$	$-0.39 + 5.74i$
k	6	7	8	9	10
α_k	0.77	1	1.04×10^{-8}	4.09×10^{-9}	3.27×10^{-16}
z_k	$3.97 + 3.00i$	$4.02 + 3.00i$	$7.45 - 6.79i$	$9.52 - 9.42i$	$25.13 - 4.90i$

Таблица 7. Зависимость положения обнаруженных узловых точек от числа предполагаемых узловых точек для полости в виде кардиоиды

n	1	2	3	4	5
z_1, z_2	$4.1877 + 3.0003i$	$3.9601 + 2.9927i$	$3.9739 + 3.0060i$	$3.9716 + 2.9999i$	$3.9710 + 3.0002i$
		$4.0278 + 3.0057i$	$4.0177 + 2.9958i$	$4.0192 + 3.0006i$	$4.0196 + 3.0004i$
n	6	7	8	9	10
	z_1, z_2		$3.9712 + 2.9997i$	$3.9709 + 2.9999i$	$3.9707 + 2.9994i$
			$4.0194 + 3.0008i$	$4.0197 + 3.0006i$	$4.0198 + 3.0010i$
				$4.0198 + 3.0010i$	$4.0198 + 3.0009i$

В рассматриваемом примере взяты следующие значения параметров овала Неймана: $a = 0.3$, $\varepsilon = 0.25$, описываемый в (8.13) овал Неймана сдвинут на вектор $z_0 = 1 + 2i$ и повернут на угол $\pi/2$, см. рис. 3. Таким образом, координаты узловых точек полости расположены в точках $z_1 = 1 + 1.75i$ и $z_2 = 1 + 2.25i$. Рассматриваемая полость изображена на рис. 3.

Проведенные численные расчеты показали, что, начиная с $n = 2$, после применения принятого выше критерия остается ровно две узловых точки. Проиллюстрируем это

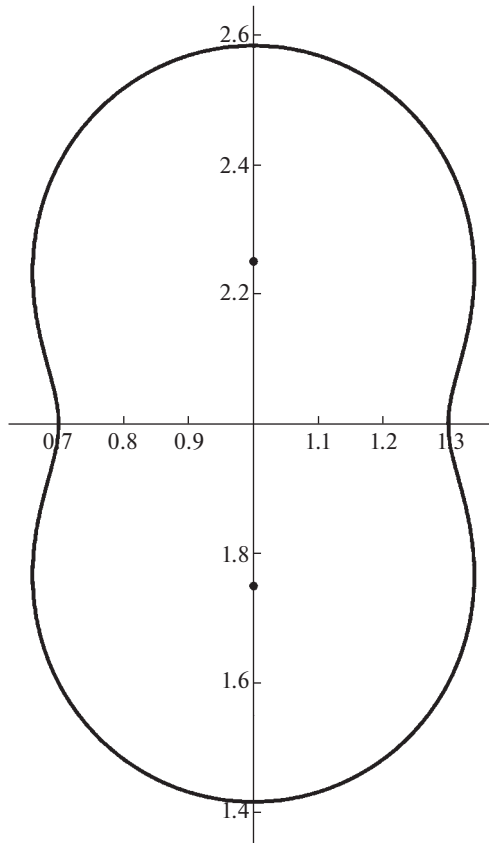


Рис. 3. Полость, имеющая форму овала Неймана.

Таблица 8. Узловые точки и нормированные коэффициенты для полости, имеющей форму овала Неймана, в случае $n = 10$

k	1	2	3	4	5
α_k	2.42×10^{-9}	2.21×10^{-9}	6.98×10^{-8}	2.96×10^{-7}	0.98
z_k	$-12.38 + 3.57i$	$-11.19 + 11.60i$	$-9.75 - 9.98i$	$-7.8 - 7.40i$	$0.998 + 1.717i$
k	6	7	8	9	10
α_k	1.0	8.46×10^{-5}	2.22×10^{-7}	9.18×10^{-8}	1.74×10^{-9}
z_k	$0.998 + 2.276i$	$2.83 + 0.72i$	$7.21 - 7.64i$	$9.4 - 9.65i$	$11.34 + 10.91i$

Таблица 9. Зависимость положения установленных узловых точек от числа предполагаемых узловых точек для полости в виде овала Неймана

n	1	2	3	4	5
z_1, z_2	$1 + 2i$	$0.998 + 1.716i$ $0.998 + 2.274i$	$1.0 + 1.722i$ $1.0 + 2.281i$	$1.0 + 1.719i$ $0.988 + 2.277i$	$1.0 + 1.721i$ $1.0 + 2.278i$
n	6	7	8	9	10
z_1, z_2	$0.999 + 1.719i$ $1.0 + 2.277i$	$1.0 + 1.721i$ $1.0 + 2.278i$	$0.999 + 1.718i$ $0.997 + 2.277i$	$1.0 + 1.717i$ $1.0 + 2.276i$	$0.998 + 1.717i$ $0.998 + 2.276i$

результатом расчетов для случая $n = 10$. В табл. 8 представлены все 10 узловых точек z_k , отвечающих $n = 10$, и соответствующие им нормированные коэффициенты α_k .

Из табл. 8 следует, что согласно принятому критерию остаются только две узловые точки под номерами 5 и 6. Координаты этих точек достаточно близки к точным координатам. Погрешность в определении узловых точек менее 2%.

Устойчивость получаемых результатов по отношению к количеству предполагаемых узловых точек n иллюстрируется в табл. 9.

Таблица 9 показывает исключительную устойчивость результатов.

Пример 6. Здесь рассматривается случай полости, имеющей форму квадратурной области третьего порядка. Рассматриваемая квадратурная область строится следующим образом. Три узловые точки расположены в вершинах равностороннего треугольника: $z_1 = \frac{R}{2} + \frac{R\sqrt{3}}{2}i$, $z_2 = -R$, $z_3 = \frac{R}{2} - \frac{R\sqrt{3}}{2}i$. Граница области получается путем пересечения окружностей радиуса R с центрами в начале координат и в указанных узловых точках [14], см. рис. 4. Рассматриваемая область ограничена внешними частями дуг окружностей.

В примере принято $R = 0.4$. В этом случае координаты узловых точек, с учетом приближенного значения величины $\sqrt{3}$, равны: $z_1 = 0.2 + 0.3464i$, $z_2 = -0.4$, $z_3 = 0.2 - 0.3464i$. Соответствующая область изображена на рис. 5.

Из проведенных численных расчетов следует, что, начиная с $n = 3$, из всех получающихся узловых точек остается ровно 3 простые узловые точки. В табл. 10 представлены все полученные узловые точки z_k и соответствующие им нормированные коэффициенты α_k для случая $n = 10$ предполагаемых узловых точек.

Согласно принятому критерию, из десяти узловых точек таблицы 10 остается только три точки с номерами 4, 5 и 6. Эти три точки достаточно близки к указанному выше точному расположению узловых точек. Погрешности составляют порядка 10%. Устойчивость определяемых положений узловых точек по отношению к количеству предпо-

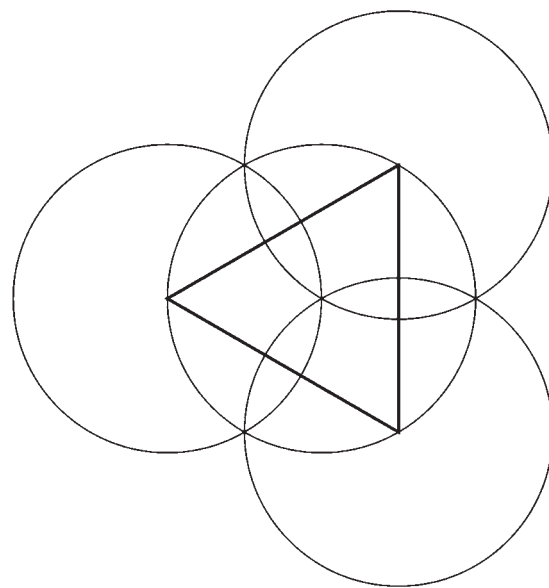


Рис. 4. Построение квадратурной области третьего порядка.

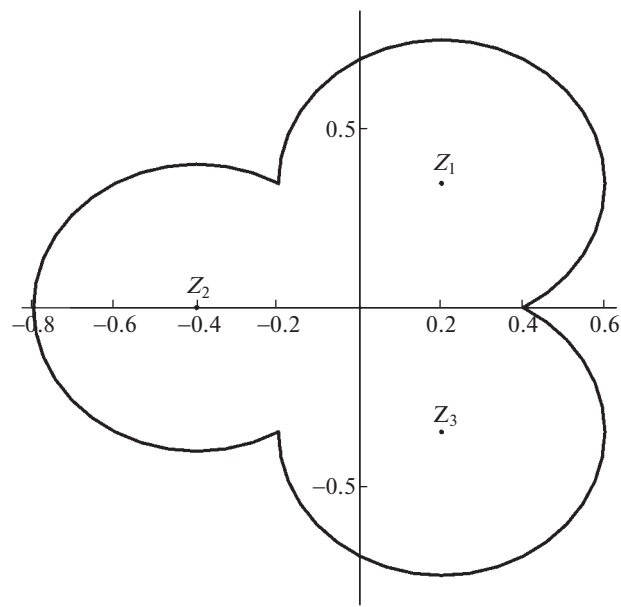


Рис. 5. Полость в виде квадратурной области третьего порядка.

Таблица 10. Узловые точки и нормированные коэффициенты для полости, имеющей форму квадратурной области третьего порядка, в случае $n = 10$

k	1	2	3	4	5
α_k	3.76×10^{-8}	3.41×10^{-8}	9.50×10^{-8}	0.995	1
z_k	$-9.55 - 9.63i$	$-8.11 + 8.31i$	$-7.56 - 7.96i$	$-0.38 - 0.009i$	$0.203 - 0.305i$
k	6	7	8	9	10
α_k	0.924	1.96×10^{-7}	7.00×10^{-8}	1.42×10^{-10}	2.78×10^{-8}
z_k	$0.226 + 0.309i$	$2.932 + 3.503i$	$7.583 - 8.102i$	$8.996 + 8.182i$	$9.552 - 9.655i$

Таблица 11. Зависимость положений установленных узловых точек от числа предполагаемых узловых точек для полости в виде квадратурной области третьего порядка

n	3	4	5	6	7
z_1, z_2, z_3	$0.13175 + 0.2650i$ $-0.4522 - 0.0831i$ $0.1211 - 0.2197i$	$0.3776 + 0.3055i$ $-0.4325 - 0.1637i$ $0.0451 - 0.2219i$	$0.2262 + 0.3112i$ $-0.3789 - 0.0102i$ $0.2008 - 0.3071i$	$0.2413 + 0.2912i$ $-0.3988 - 0.0213i$ $0.1906 - 0.2826i$	$0.2469 + 0.2809i$ $-0.4086 - 0.0273i$ $0.1869 - 0.2719i$
n	8	9	10	11	12
z_1, z_2, z_3	$0.2460 + 0.2809i$ $-0.4086 - 0.0263i$ $0.1878 - 0.2722i$	$0.2208 + 0.3105$ $-0.3781 - 0.0055i$ $0.2071 - 0.3083i$	$0.2260 + 0.3090i$ $-0.3801 - 0.0091i$ $0.2027 - 0.3048i$	$0.2233 + 0.3101i$ $-0.3789 - 0.0073i$ $0.2048 - 0.3070i$	$0.2222 + 0.3106i$ $-0.3782 - 0.0065i$ $0.2057 - 0.3080i$
n	13	14	15		
z_1, z_2, z_3	$0.2194 + 0.3107i$ $-0.3775 - 0.0043i$ $0.2088 - 0.3091i$	$0.2184 + 0.3093i$ $-0.3784 - 0.0031i$ $0.2104 - 0.3079i$	$0.2185 + 0.3093i$ $-0.3784 - 0.0032i$ $0.2102 - 0.3079i$		

лагаемых узловых точек n иллюстрируется в табл. 11. В этой таблице представлены полученные координаты узловых при различных значениях n .

Результаты, представленные в табл. 11, показывают, что хотя то, что имеются 3 узловые точки определяется с $n = 3$, их координаты начинают устанавливаться с $n = 5$. Окончательная стабилизация результатов происходит начиная с $n = 9$. Установленные координаты узловых точек достаточно близки к точным значениям, но содержат систематическую ошибку порядка 10%. Такая ошибка, вероятно, связана с неточностью в исходных данных, часть из которых определяется путем решения прямой задачи. Решение прямой задачи для тела с полостью столь сложной, невыпуклой формы содержит некоторую погрешность.

Пример 7. В предыдущих примерах неоднородности представляли собой квадратурные области. Цель данного примера выяснить, что дает разработанный метод в случае, когда область, занимаемая дефектом, не является квадратурной. Известно, что эллипс, согласно данному выше определению, не является квадратурной областью. Для эллипса, ограниченного кривой

$$\frac{x_1^2}{a^2} + \frac{x_2^2}{b^2} = 1, \quad a > b > 0 \quad (8.14)$$

функция Шварца имеет вид [9]

$$S(z) = \frac{a^2 + b^2}{c^2} - \frac{2ab}{c^2} \sqrt{z^2 - c^2} \quad (8.15)$$

Таблица 12. Узловые точки и нормированные коэффициенты для эллиптической полости в случае $n = 5$

k	1	2	3	4	5
α_k	2.48×10^{-9}	8.08×10^{-7}	0.536	1	0.472
z_k	$-9.17 - 10.30i$	$-1.58 - 0.48i$	$3.38 + 2.76i$	$4.03 + 2.99i$	$4.66 + 3.23i$

Таблица 13. Узловые точки и нормированные коэффициенты для эллиптической полости в случае $n = 10$

k	1	2	3	4	5
α_k	2.22×10^{-9}	8.46×10^{-11}	5.61×10^{-9}	6.34×10^{-8}	0.444
z_k	$-9.53 - 9.58i$	$-8.75 + 8.39i$	$-7.46 - 7.71i$	$-2.57 - 1.02i$	$3.30 + 2.74i$
k	6	7	8	9	10
α_k	1	0.825	0.266	3.05×10^{-9}	6.52×10^{-10}
z_k	$3.81 + 2.92i$	$4.37 + 3.13i$	$4.77 + 3.28i$	$9.31 + 8.39i$	$10.33 - 9.44i$

Здесь $c = \sqrt{a^2 - b^2}$.

Отсюда следует, что для любой голоморфной в эллиптической области D функции $f(z)$ справедливо равенство [9]

$$\int_D f(z) dS = \frac{2ab}{c^2} \int_{-c}^c f(x) \sqrt{c^2 - x^2} dx \quad (8.16)$$

Таким образом, интеграл от голоморфной функции по эллиптической области выражается через интеграл по отрезку, соединяющему два фокуса. Поскольку, по определению, интеграл от голоморфной функции по квадратурной области должен выражаться с помощью линейной комбинации значений функции и их производных в конечном числе точек, эллиптическая область не является квадратурной.

Пусть полость D имеет форму эллипса с полуосами $a_1 = 1$, $a_2 = 0.25$. Предположим, что центр эллипса расположен в точке $(4, 3)$ и большая ось эллипса наклонена к оси x_1 под углом 20° . Проведенные расчеты показали, что с увеличением числа предполагаемых узловых точек n количество определяемых узловых точек постепенно увеличивается. Все определяемые узловые точки находятся вблизи большой оси эллипса между его фокусами. В табл. 12 приведены значения определяемых узловых точек z_k и соответствующих им нормированных коэффициентов α_k в случае $n = 5$.

Согласно принятому критерию остаются три узловые точки под номерами 3, 4 и 5. Точка z_4 близка к центру эллипса. Нетрудно видеть, что фокусы эллипса расположены в точках $F_1 = 3.09 + 2.67i$ и $F_2 = 4.91 + 3.33i$. Уравнение прямой, проходящей через фокусы и центр эллипса имеет вид

$$x_2 = 0.364x_1 + 1.545 \quad (8.17)$$

Точки z_3 и z_5 расположены очень близко к прямой (8.17) и находятся между фокусами. Эллиптическая полость с установленными тремя узловыми точками изображена на рис. 6.

В случае $n = 10$ обнаруживаются 4 узловые точки. Значения определяемых узловых точек z_k и соответствующих им нормированных коэффициентов α_k в случае $n = 10$ приведены в табл. 13.

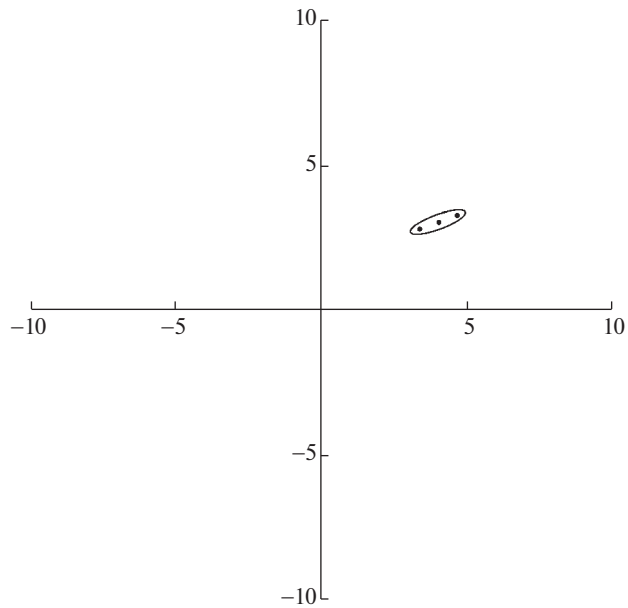


Рис. 6. Эллиптическая полость с узловыми точками, отвечающими $n = 5$.

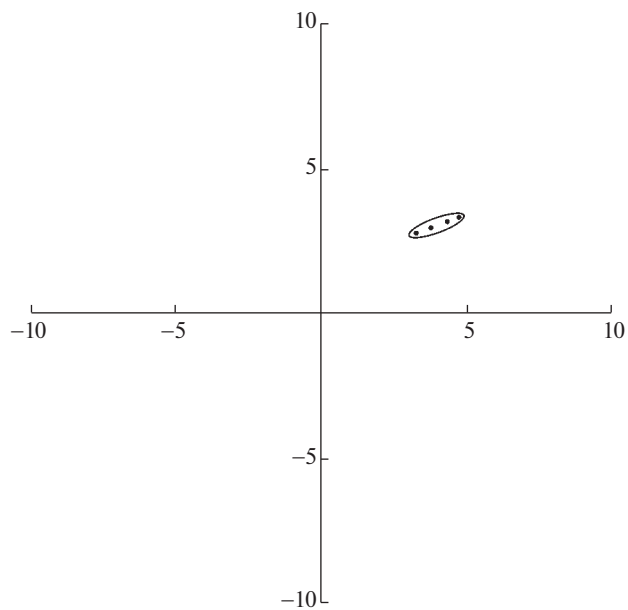


Рис. 7. Эллиптическая полость с узловыми точками, отвечающими $n = 10$.

Из табл. 13 видно, что, согласно принятому критерию, остаются только 4 узловые точки z_5, \dots, z_8 . Эти точки расположены очень близко к прямой (8.17) и находятся между фокусами эллипса. Изображение эллиптической полости и обнаруженных четырех узловых точек представлено на рис. 7.

9. Заключение. Рассмотрена плоская задача теории упругости об идентификации неоднородности (полости или включения) в упругом теле. Разработан метод, позволяющий в случае, когда неоднородность занимает квадратурную область, определять ее узловые точки, представляющие собой полюсы функции Шварца. Рассмотрен ряд численных примеров, иллюстрирующих полученные теоретические результаты. Представлен также пример, в котором область, занимаемая неоднородностью, не является квадратурной и множество особых точек функции Шварца занимает некоторую кривую. В этом случае получаемый с помощью разработанного метода дискретный набор особенностей принадлежит особому множеству функции Шварца и с увеличением числа искомых особенностей начинает аппроксимировать множество особенностей функции Шварца.

Часть из представленных в статье результатов в краткой форме изложена в публикации [20].

Работа выполнена по теме государственного задания (№ госрегистрации 123021700050-1).

СПИСОК ЛИТЕРАТУРЫ

1. Andrieux S., Ben Abda A. Identification of planar cracks by complete overdetermined data: inversion formulae // Inverse Probl. 1996. V. 12. P. 553–563.
2. Andrieux S., Ben Abda A., Bui H. Reciprocity principle and crack identification // Inverse Probl. 1999. V. 15. P. 59–65.
3. Goldstein R.V., Shifrin E.I., Shushpannikov P.S. Application of invariant integrals to the problems of defect identification // Int. J. Fract. 2007. V. 147. P. 45–54.
https://doi.org/10.1007/978-1-4020-6929-1_6
4. Шифрин Е.И. Идентификация эллипсоидального дефекта в упругом теле по результатам одного испытания на одноосное растяжение (сжатие) // Изв. РАН. МТТ. 2010. № 3. С. 131–142.
5. Shifrin E.I., Shushpannikov P.S. Identification of a spheroidal defect in an elastic solid using a reciprocity gap functional // Inverse Probl. 2010. V. 26. 055001.
<https://doi.org/10.1088/0266-5611/26/5/055001>
6. Shifrin E.I., Shushpannikov P.S. Identification of an ellipsoidal defect in an elastic solid using boundary measurements // Int. J. Solids Struct. 2011. V. 48. № 7–8. P. 1154–1163.
<https://doi.org/10.1016/j.ijsolstr.2010.12.016>
7. Shifrin E.I., Shushpannikov P.S. Identification of small well-separated defects in an isotropic elastic body using boundary measurements // Int. J. Solids Struct. 2013. V. 50. № 22–23. P. 3707–3716.
<https://doi.org/10.1016/j.ijsolstr.2013.07.009>
8. Shifrin E.I., Kaptsov A.V. Identification of multiple cracks in 2D elasticity by means of the reciprocity principle and cluster analysis // Inverse Probl. 2018. V. 34. 015009. <https://doi.org/10.1088/1361-6420/aa9d74>
9. Davis P.J. The Schwarz function and its applications. The Carus Mathematical Monographs 17. Mathematical Association of America. 1974.
10. Aharonov D., Shapiro H.S. Domains on which analytic functions satisfy quadrature identities // J. d'Analyse Math. 1976. V. 30. P. 39–73.
11. Gustafsson B. Quadrature identities and the Schottky double // Acta Appl. Math. 1983. V. 1. P. 209–240.
12. Bell S.R. Quadrature domains and kernel function zipping // Arkiv mat. 2005. V. 43. P. 271–287.
13. Bell S.R. Density of quadrature domains in one and several complex variables // Complex Var. Elliptic Equ. 2009. V. 54. № 3–4. P. 165–171.

14. *Ameur Y., Helmer M., Tellander F.* On the uniqueness problem for quadrature domains // *Comput. Methods Funct. Theory.* 2021. V. 21. P. 473–504.
<https://doi.org/10.1007/s40315-021-00373-w>
15. *Мусхелишвили Н.И.* Некоторые основные задачи математической теории упругости. М.: Наука, 1966. 708 с.
16. *Golub G.H., Milanfar P., Varah J.* A stable numerical method for inverting shape from moments // *SIAM J. Sci. Comput.* 1999. V. 21. № 4. P. 1222–1243.
<https://doi.org/10.1137/S1064827597328315>
17. *El Badia A., Ha-Duong T.* An inverse source problem in potential analysis // *Inverse Probl.* 2000. V. 16. № 3. P. 651–663.
<https://doi.org/10.1088/0266-5611/16/3/308>
18. *Kang H., Lee H.* Identification of simple poles via boundary measurements and an application of EIT // *Inverse Probl.* 2004. V. 20. № 6. P. 1853–1863.
<https://doi.org/10.1088/0266-5611/20/6/010>
19. *Lee S.-Y., Makarov N.G.* Topology of quadrature domains // *J. Am. Math. Soc.* 2016. V. 29. P. 333–369.
20. *Шифрин Е.И., Капцов А.В.* Идентификация узловых точек упругого включения в упругой плоскости // Доклады РАН. Математика, информатика, процессы управления. 2023. Т. 509. С. 77–82.
<https://doi.org/10.31857/S268695432370011X>